

Starkniederschlagshöhen und -spenden gemäß KOSTRA-DWD-2020

Rasterfeld 178097

(Zeile 178, Spalte 97)

Regenspende und Bemessungsniederschlagswerte in Abhängigkeit von Wiederkehrzeit T und Dauerstufe D

| Dauerstufe D | | Wiederkehrzeit T | | | | | | | | | | | | | | | | | |
|--------------|-----|------------------|------------|------|------------|------|------------|------|------------|-------|------------|-------|------------|-------|------------|-------|------------|-------|------------|
| | | 1 a | | 2 a | | 3 a | | 5 a | | 10 a | | 20 a | | 30 a | | 50 a | | 100 a | |
| min | Std | mm | l / (s ha) | mm | l / (s ha) | mm | l / (s ha) | mm | l / (s ha) | mm | l / (s ha) | mm | l / (s ha) | mm | l / (s ha) | mm | l / (s ha) | mm | l / (s ha) |
| 5 | | 6,2 | 206,7 | 7,6 | 253,3 | 8,4 | 280,0 | 9,5 | 316,7 | 11,1 | 370,0 | 12,7 | 423,3 | 13,8 | 460,0 | 15,2 | 506,7 | 17,2 | 573,3 |
| 10 | | 8,3 | 138,3 | 10,1 | 168,3 | 11,2 | 186,7 | 12,7 | 211,7 | 14,8 | 246,7 | 17,0 | 283,3 | 18,4 | 306,7 | 20,3 | 338,3 | 22,9 | 381,7 |
| 15 | | 9,6 | 106,7 | 11,7 | 130,0 | 13,0 | 144,4 | 14,7 | 163,3 | 17,1 | 190,0 | 19,6 | 217,8 | 21,3 | 236,7 | 23,5 | 261,1 | 26,6 | 295,6 |
| 20 | | 10,5 | 87,5 | 12,9 | 107,5 | 14,3 | 119,2 | 16,2 | 135,0 | 18,9 | 157,5 | 21,7 | 180,8 | 23,5 | 195,8 | 25,9 | 215,8 | 29,3 | 244,2 |
| 30 | | 12,0 | 66,7 | 14,7 | 81,7 | 16,3 | 90,6 | 18,5 | 102,8 | 21,5 | 119,4 | 24,7 | 137,2 | 26,8 | 148,9 | 29,5 | 163,9 | 33,5 | 186,1 |
| 45 | | 13,7 | 50,7 | 16,6 | 61,5 | 18,5 | 68,5 | 20,9 | 77,4 | 24,4 | 90,4 | 28,1 | 104,1 | 30,4 | 112,6 | 33,5 | 124,1 | 38,0 | 140,7 |
| 60 | 1 | 14,9 | 41,4 | 18,2 | 50,6 | 20,2 | 56,1 | 22,8 | 63,3 | 26,7 | 74,2 | 30,6 | 85,0 | 33,2 | 92,2 | 36,6 | 101,7 | 41,4 | 115,0 |
| 90 | 1,5 | 16,8 | 31,1 | 20,5 | 38,0 | 22,8 | 42,2 | 25,8 | 47,8 | 30,1 | 55,7 | 34,5 | 63,9 | 37,4 | 69,3 | 41,3 | 76,5 | 46,7 | 86,5 |
| 120 | 2 | 18,3 | 25,4 | 22,3 | 31,0 | 24,8 | 34,4 | 28,0 | 38,9 | 32,7 | 45,4 | 37,6 | 52,2 | 40,7 | 56,5 | 44,9 | 62,4 | 50,8 | 70,6 |
| 180 | 3 | 20,6 | 19,1 | 25,1 | 23,2 | 27,9 | 25,8 | 31,5 | 29,2 | 36,8 | 34,1 | 42,2 | 39,1 | 45,8 | 42,4 | 50,5 | 46,8 | 57,2 | 53,0 |
| 240 | 4 | 22,3 | 15,5 | 27,2 | 18,9 | 30,3 | 21,0 | 34,2 | 23,8 | 40,0 | 27,8 | 45,9 | 31,9 | 49,8 | 34,6 | 54,8 | 38,1 | 62,1 | 43,1 |
| 360 | 6 | 25,1 | 11,6 | 30,6 | 14,2 | 34,0 | 15,7 | 38,5 | 17,8 | 44,9 | 20,8 | 51,5 | 23,8 | 55,9 | 25,9 | 61,6 | 28,5 | 69,7 | 32,3 |
| 540 | 9 | 28,2 | 8,7 | 34,3 | 10,6 | 38,1 | 11,8 | 43,2 | 13,3 | 50,4 | 15,6 | 57,8 | 17,8 | 62,7 | 19,4 | 69,1 | 21,3 | 78,3 | 24,2 |
| 720 | 12 | 30,6 | 7,1 | 37,2 | 8,6 | 41,4 | 9,6 | 46,8 | 10,8 | 54,7 | 12,7 | 62,8 | 14,5 | 68,1 | 15,8 | 75,0 | 17,4 | 84,9 | 19,7 |
| 1080 | 18 | 34,3 | 5,3 | 41,8 | 6,5 | 46,4 | 7,2 | 52,5 | 8,1 | 61,3 | 9,5 | 70,4 | 10,9 | 76,4 | 11,8 | 84,1 | 13,0 | 95,3 | 14,7 |
| 1440 | 24 | 37,2 | 4,3 | 45,3 | 5,2 | 50,4 | 5,8 | 57,0 | 6,6 | 66,5 | 7,7 | 76,4 | 8,8 | 82,8 | 9,6 | 91,3 | 10,6 | 103,4 | 12,0 |
| 2880 | 48 | 45,2 | 2,6 | 55,1 | 3,2 | 61,3 | 3,5 | 69,3 | 4,0 | 80,9 | 4,7 | 92,9 | 5,4 | 100,8 | 5,8 | 111,0 | 6,4 | 125,8 | 7,3 |
| 4320 | 72 | 50,7 | 2,0 | 61,8 | 2,4 | 68,7 | 2,7 | 77,7 | 3,0 | 90,8 | 3,5 | 104,2 | 4,0 | 113,0 | 4,4 | 124,5 | 4,8 | 141,0 | 5,4 |
| 5760 | 96 | 55,0 | 1,6 | 67,1 | 1,9 | 74,5 | 2,2 | 84,3 | 2,4 | 98,4 | 2,8 | 113,0 | 3,3 | 122,6 | 3,5 | 135,0 | 3,9 | 152,9 | 4,4 |
| 7200 | 120 | 58,6 | 1,4 | 71,4 | 1,7 | 79,4 | 1,8 | 89,8 | 2,1 | 104,9 | 2,4 | 120,4 | 2,8 | 130,5 | 3,0 | 143,8 | 3,3 | 162,9 | 3,8 |
| 8640 | 144 | 61,7 | 1,2 | 75,2 | 1,5 | 83,6 | 1,6 | 94,6 | 1,8 | 110,4 | 2,1 | 126,7 | 2,4 | 137,4 | 2,7 | 151,4 | 2,9 | 171,5 | 3,3 |
| 10080 | 168 | 64,4 | 1,1 | 78,5 | 1,3 | 87,3 | 1,4 | 98,8 | 1,6 | 115,3 | 1,9 | 132,4 | 2,2 | 143,5 | 2,4 | 158,2 | 2,6 | 179,1 | 3,0 |

Starkniederschlagshöhen und -spenden gemäß KOSTRA-DWD-2020

Rasterfeld 178097

(Zeile 178, Spalte 97)

Örtliche Unsicherheiten in Abhängigkeit von Wiederkehrzeit T und Dauerstufe D

| Dauerstufe D | | Wiederkehrzeit T | | | | | | | | |
|--------------|-----|------------------|-----|-----|-----|------|------|------|------|-------|
| | | 1 a | 2 a | 3 a | 5 a | 10 a | 20 a | 30 a | 50 a | 100 a |
| min | Std | ± % | ± % | ± % | ± % | ± % | ± % | ± % | ± % | ± % |
| 5 | | 14 | 15 | 16 | 16 | 17 | 18 | 18 | 19 | 19 |
| 10 | | 17 | 18 | 19 | 20 | 21 | 22 | 22 | 23 | 23 |
| 15 | | 18 | 20 | 21 | 22 | 23 | 23 | 24 | 24 | 25 |
| 20 | | 19 | 20 | 21 | 22 | 23 | 24 | 25 | 25 | 26 |
| 30 | | 19 | 21 | 22 | 23 | 24 | 24 | 25 | 25 | 26 |
| 45 | | 18 | 20 | 21 | 22 | 23 | 24 | 25 | 25 | 26 |
| 60 | 1 | 18 | 20 | 21 | 22 | 23 | 24 | 24 | 25 | 25 |
| 90 | 1,5 | 17 | 19 | 20 | 21 | 22 | 23 | 23 | 24 | 24 |
| 120 | 2 | 16 | 18 | 19 | 20 | 21 | 22 | 22 | 23 | 23 |
| 180 | 3 | 15 | 17 | 17 | 18 | 20 | 21 | 21 | 21 | 22 |
| 240 | 4 | 14 | 16 | 17 | 18 | 19 | 20 | 20 | 21 | 21 |
| 360 | 6 | 13 | 14 | 15 | 16 | 17 | 18 | 19 | 19 | 20 |
| 540 | 9 | 12 | 13 | 14 | 15 | 16 | 17 | 17 | 18 | 18 |
| 720 | 12 | 11 | 12 | 13 | 14 | 15 | 16 | 16 | 17 | 17 |
| 1080 | 18 | 10 | 12 | 12 | 13 | 14 | 15 | 15 | 16 | 16 |
| 1440 | 24 | 10 | 11 | 12 | 12 | 13 | 14 | 14 | 15 | 15 |
| 2880 | 48 | 11 | 11 | 11 | 12 | 12 | 13 | 13 | 14 | 14 |
| 4320 | 72 | 12 | 12 | 12 | 12 | 13 | 13 | 13 | 13 | 14 |
| 5760 | 96 | 13 | 12 | 12 | 13 | 13 | 13 | 13 | 14 | 14 |
| 7200 | 120 | 14 | 13 | 13 | 13 | 13 | 13 | 14 | 14 | 14 |
| 8640 | 144 | 14 | 14 | 13 | 13 | 14 | 14 | 14 | 14 | 14 |
| 10080 | 168 | 15 | 14 | 14 | 14 | 14 | 14 | 14 | 14 | 14 |

Parameter für abweichende T und D

Lokationsparameter ξ (Xi)

15,18711753

Skalenparameter α (Alpha)

4,62427662

Formparameter κ (Kappa)

-0,1

1. Koutsoyiannis-Parameter θ (Theta)

0,0259056

2. Koutsoyiannis-Parameter η (Eta)

0,71782778

Parameter für dauerstufenübergreifende Extremwertschätzung nach KOUTSOYIANNIS et al. 1998.

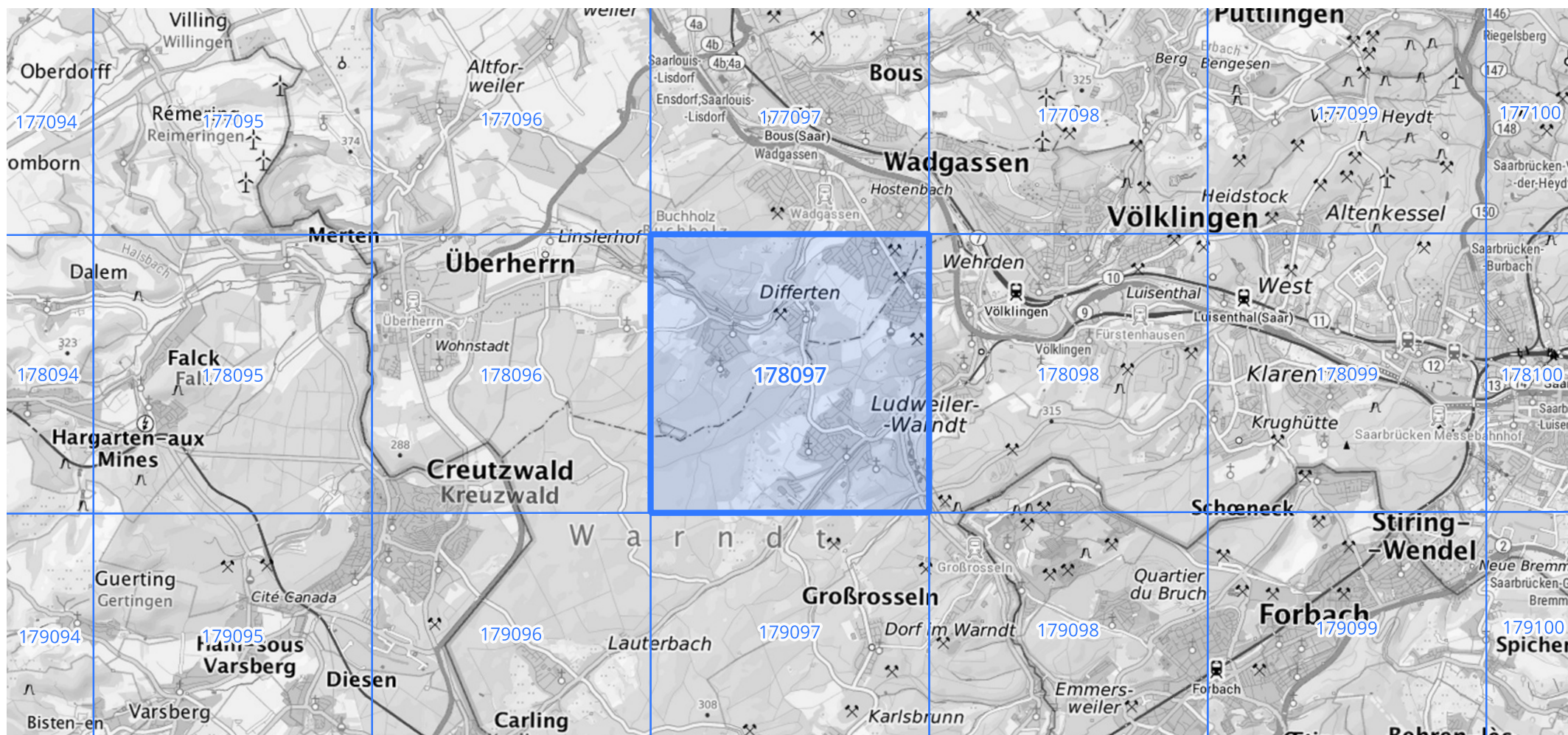
Siehe auch Anwendungshilfe zu KOSTRA-DWD-2020 des Deutschen Wetterdienstes.

Starkniederschlagshöhen und -spenden gemäß KOSTRA-DWD-2020

Rasterfeld 178097

(Zeile 178, Spalte 97)

Übersichtskarte des Rasterfeldes 178097, M 1 : 100 000



Quelle Rasterdaten: KOSTRA-DWD-2020 des Deutschen Wetterdienstes, Stand 12/2022.

Seite 3 von 3

Kartendarstellung: © Bundesamt für Kartographie und Geodäsie (2023), Datenquellen: https://sgx.geodatenzentrum.de/web_public/gdz/datenquellen/Datenquellen_TopPlusOpen.html

Für die Richtigkeit und Aktualität der Angaben wird keine Gewähr übernommen. Erstellt 01/2023.